

МИНИСТЕРСТВО ГЕОЛОГИИ СССР
СИБИРСКИЙ НАУЧНО—ИССЛЕДОВАТЕЛЬСКИЙ ИНСТИТУТ ГЕОЛОГИИ,
ГЕОФИЗИКИ И МИНЕРАЛЬНОГО СЫРЬЯ (СНИИГГиМС)

**НОВЫЕ ВИДЫ
ДРЕВНИХ РАСТЕНИЙ И БЕСПОЗВОНОЧНЫХ
ФАНЕРОЗОЯ СИБИРИ**

Сборник научных трудов

НОВОСИБИРСК 1987

3. Дагис А.С., Курушин Н.И. Триасовые брахиоподы и двусторчатые моллюски севера Средней Сибири. - М.: Наука, 1985.- 160 с.
4. Кипарисова Л.Д. Фауна триасовых отложений восточной части Советской Арктики// Тр. Аркт. ин-та, 1937.- С. 135-256.
5. Кипарисова Л.Д. Нижнетриасовые пластинчатожабранные Уссурийского края// Тр. ГИН АН СССР, 1938. - С.197-312.
6. Курушин Н.И. Двусторчатые моллюски нижнетриасовых битуминозных известняков Якутии// Стратиграфия и палеонтология докембрия и фанерозоя Сибири. - Новосибирск, 1985. - С. 83-92.
7. B i t n e r A. Lamellibranchiaten der alpinen Trias// Geol. Reichsanst. - Wien, 1895, B*l.* 18, N. 1. - S. 1-235.
8. В е к H. Uber die Formationen des bunten Sandsteins und des Muschelkalkes in Oberschlesien. - Budapest, 1865. - S.254.
9. К о б а у а с х и Т., И с х и к а в а К. Late Triassic *Mytilus*, *Volvella*, *Pleurophorus* and *Myosoncha* from the Sakawa Basin in Shikoku// Jap. I. Fac. Sci. Univ. - Tokyo, Sec. 11, 1950.- Vol. 7, N 3. - P. 207-216.
10. К р у м б е к J. Die Brachiopoden, Lamellibranchiaten und Gastropoden die Trias von Timor II. Palaontologischer Teil// Palaontol. Timor. - Stuttgart, 1924, Abn.22, Abb.4. - S. 1-272.
11. Т о к у я м а А. Late Triassic Pteriacea from the Atsu and Mine Series, West Japan// Jap. J. Geol. Geogr. - 1959. Vol. 30. - P. 1-19.

И.Г. Климова

**СИБИРСКАЯ МОРФА РАННЕВАЛАНЖИНСКОГО АММОНИТА
COSTAMENJAITES JUCUNDUS SASONOVA**

В комплексе фауны зоны *Temnoptychites suzranicus* нижнего валланжина севера Сибирской платформы [1] встречены аммониты, которые очень близки к *Costamenjaites jucundus* Sasonova. Этот вид впервые описан из нижневалланжинских отложений Русской платформы [2,3]. Между указанными сибирскими и аммонитами из центральных районов европейской части СССР существует отличие, которое не позволяет их отождествлять, но и не может служить обоснованием для выделения нового вида. Вероятно, это географические морфы одного вида *Costamenjaites jucundus* Sasonova.

Ниже дается описание морфогенеза сибирской морфы.

Табл. XXI, фиг. 1-5; рис. 1, 2

Costamenjaites jucundus: Сазонова, 1971, с. 84, табл. XVI, фиг. 3, табл. XXI, фиг. 2; 1977, с. 74, табл. XV, фиг. 4.

Г о л о т и п - *Costamenjaites jucundus* Sasonova, 1971, с. 84, табл. XXI, фиг. 2; Пензенская область, нижний валн-жин, зона *Pseudogarnieria undulato-plicatilis*.

О п и с а н и е. Четыре морфогенетические стадии: начальная гладкая, возникновения скульптуры, пучков ребер, конечная сглаживания ребер.

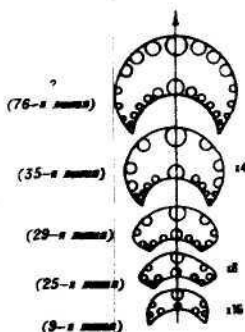
Начальная гладкая стадия - $3\frac{1}{3}$ оборота. Протоконх валиковидный, мелкий, его размеры: Д - 0,5, Ш - 0,62, соотношение Д:Ш = 0,7. Раковина дисковидная, умеренно толстая, по мере роста становится более сжатой. Умбиликус умеренно узкий, неглубокий, умбиликальная стенка невысокая, покатая, умбиликальный перегиб нерезкий, округлый. Поперечное сечение широкоовальное (рис. 1). Боковые стороны слабовыпуклые, примерно равного

Р и с. 1. Изменение поперечного сечения *Costamenjaites* cf. *jucundus* Sasonova в онтогенезе (слева - номера оборотов). Обр. Б4/6-1

размера с более выпуклой вентральной стороной. Конец стадии фиксирует появление скульптуры в приумбиликальной части раковины (см. таблицу).

Стадия возникновения скульптуры $3\frac{1}{3}$ - $4\frac{1}{3}$ оборота. Раковина дисковидная. Умбиликус умеренно узкий. Умбиликальная стенка очень низкая, незаметно переходит в боковую сторону. Бока почти уплощенные, параллельны друг другу. Вентральная сторона выгнута в виде крутой дуги. Поперечное сечение овальное (см. рис. 1). Скульптуре представлена в начале стадии очень пологими умбиликальными продолговатыми вздутиями, которые занимают нижнюю треть боковой стороны. Затем вздутия становятся четкими, расположенными под острым углом к диаметру и полого выгнуты назад (см. таблицу).

В начале пятого оборота умбиликальные вздутия превращаются в ребра. На середине бока ребра ветвятся, образуя неясные пучки из



Размеры раковины *Costamenejaites juscundus* Saalon. (абсолютные значения в мм и процентные относительно D)

№ об- раца	Число оборо- тов	D	Ш.ум.	B	в	T	Ш.ум.Д,%	В:Д,%	в:Д,%	Т:Д,%	К.в.	Примечание
Б4/3	4 1/3	10	2	5	2,6	4	20	50	26	40		Умбиликальных ребер 20
Б4/3	5	15	4	6	4	6,2	26	40	26	40	На половине оборота	?
Б4/3	5 1/2	21	4,4	10,4	6,1	9	21	49	29	42	2,4 2,8	?

очень тоненьких ветвей. Первым таким пучком завершается стадия возникновение скульптуры (см. таблицу).

Стадия пучков ребер охватывает два оборота от начала пятого до начала седьмого. Раковина изменяется от дисковидной до платиконической. Умбиликус по-прежнему умеренно узкий (см. размеры). К концу стадии напоминает неглубокую воронку. Умбиликальная стенка почти отвесная, гладкая. Умбиликальный перегиб достаточно четкий, закругленный. Боковые стороны слабо выпуклые. Вентер узкий, закругленный. Поперечное сечение от овального до треугольно-овального. Скульптура тесная, изящная. Умбиликальные ребра в начале стадии ветвятся, образуя трехветвистые узкие пучки с одной точкой ветвления. Между пучками наблюдаются вставные ребра. Умбиликальные ребра расположены под острым углом к диаметру, вентральные слабо серповидно изогнуты. На вентре ребра сильно понижаются. С ростом раковины количество вставных ребер увеличивается, и в ряде случаев они очень близко нижними концами подходят к точке ветвления умбиликального ребра, создавая впечатления бидихотомных и триветвистых пучков. К концу стадии скульптура понижается, почти исчезает на середине боков. Завершается стадия исчезновением рельефности умбиликальных ребер.

Конечная стадия сглаживания ребер характеризуется расширением и некоторым уплощением вентра, сглаживанием скульптуры на боках до полного исчезновения и усилением ребер в верхней части раковины и на вентре. Стадия совпадает с конечной жилой камерой.

№ деления	Название возникшего элемента	№ линии	№ оборота
I	Седло	13,14	2
	Лопасть		
II	Седло	30	3
	Лопасть		
III	Седло	35	3
	Лопасть		
IV	Седло	47	4
	Лопасть		
V	Седло	53	4
	Лопасть		
VI	Седло	57	5
	Лопасть		
VII	Седло	63	5
	Лопасть		
VIII	Седло	77	6
	Лопасть		

Возможно, указанные признаки характерны именно для нее.

Размеры жилой камеры установить не удалось.

Лопастная линия (рис.2). Примасутра пятилопастная. Первичное седло в высоту имеет 0,2, в ширину 0,3.

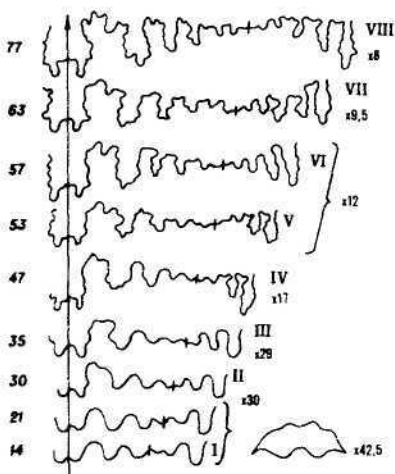
№ оборота	Кол-во линий	№ линий
1	9	1-9
2	15	9-24
3	15	24-39
4	16	39-55
5	16	55-71

В начале второго оборота внешний склон лопасти начинает изгибаться, образуется седло и две новые лопасти Iv и Id, расположенные на внутренней части раковины - первое деление. Лопасть начинает сдвигаться кнаружи и в конце второго оборота на 21-й линии совмещается с умбиликальным швом.

На 30-й линии (третий оборот) вершина этой лопасти начинает воздыматься, образуется седло - второе деление. В конце третьего оборота на 35-й линии вершина седла прогибается, возникает новая лопасть - третье деление. Четвертое деление - образование очередного седла - происходит на 47-й линии в начале четвертого оборота. На 53-й линии возникает лопасть - пятое деление и т.д. Всего насчитывается восемь делений. Восьмое деление происходит на 77-й линии в начале шестого оборота - возникает очередное седло. Этим завершается формирование воздымающейся сатуральной лопасти в результате восьмикратного деления внутренней лопасти I.

Усложнение контура лопастной линии происходит в начале третьего оборота. Первым усложняется контур вентрального седла, затем латеральной лопасти. Сформировавшаяся лопастная линия характеризуется простотой, округлостью очертания, слабой изрезанностью, широкими элементами.

Первые три деления происходят в начальной гладкой стадии, IV-VI деления - в стадии возникновения скульптуры, в середине стадии пучков ребер заканчивается формирование сутуральной лопасти.



Р и с. 2. Изменение лопастной линии *Costamenjaites cf. jucundus* Sazonova в онтогенезе (слева - порядковый номер линии, справа - порядковый номер деления внутренней лопасти). Обр. Б4/6-1

В самом понижении скульптуры на боках и усилении ее на ventre, а также небольшом изменении формы раковины за счет некоторого расширения и уплощения вентральной стороны. Возможно, как уже говорилось, это свойственно конечной жилой камере, которая не наблюдается на сравниваемом материале.

По характеру скульптуры к описываемым аммонитам в третьей морфологической стадии близок экземпляр *Costamenjaites jucundus* Sazonova из того же местонахождения, что и голотип [2, табл. XVI, фиг. 3]. От голотипа и изучаемых аммонитов он отличается большей сдавленностью раковины, следовательно, более узким поперечным сечением. Возможно, вариация толщины раковины относится к внутривидовой изменчивости.

Исходя из сказанного представляется возможным считать описываемый экземпляр геоморфой *Costamenjaites jucundus* Sazonova.

Р а с п р о с т р а н е н и е. Нижний валанжин: зона *Pseudogarniera undulatopectilis* Русской платформы, зона *Temnoptychi-*

С р а в н е н и е и з а м е ч а н и я. Описываемая форма в стадии пучков ребер по всем имеющимся признакам очень близка к голотипу *Costamenjaites jucundus* Sazonova из нижнего валанжина Русской платформы [2, с. 84, табл. XXI, фиг. 2]. Основное отличие описываемых аммонитов от указанного вида, судя по его изображению в этой стадии, заключается в ее длительности, но продолжительность стадии пучков, т.е. число оборотов, которые ей соответствуют, у сравниваемой формы не известны, и лишь по величине Д можно судить об этом. Дальнейшее изменение морфологических особенностей раковины *Costamenjaites jucundus* Sazonova заключается в очень си-

tes *syzranicus*, верхняя подзона *Temnoptychites syzranicus* Северной Сибири.

Местонахождение. Р. Боярка, обн. 4 у Большой Излучины, слой 3 (сборн И.Г.Климовой).

Материал. Пять экземпляров. Развернут один.

СПИСОК ЛИТЕРАТУРЫ

1. Опорный разрез неокома севера Сибирской платформы/ Под ред. А.В.Гольберта. - Новосибирск, 1981. - Т.1. - 56 с.

2. Сазонова И.Г. Берриасские и нижневаланжинские аммониты Русской платформы// Берриас Русской платформы. - М.:ВНИГНИ, 1971. - С.3-100.

3. Сазонова И.Г. Аммониты пограничных слоев юрской и меловой систем Русской платформы. - М.: Недра, 1977. - 127 с.

Л.М. Егорова, Ю.Я. Шабанов

КЕМБРИЙСКИЕ ТРИЛОБИТЫ СЕВЕРА

АНАБАРО-СИНСКОГО ФАЦИАЛЬНОГО РЕГИОНА СИБИРСКОЙ ПЛАТФОРМЫ

Новые трилобиты описаны из доломитоизвестняковых отложений киндьянской толщи бассейна р.Арга-Салы. Эта толща распространена на большой территории Фомич-Арга-Салинской фациальной области Анабаро-Синского фациального региона. Сведения о стратиграфии, расчленении кембрийских отложений, описание разрезов этого региона подробно изложены в статьях [1,2].

Новые виды трилобитов встречаются совместно с ранее известными видами, что позволяет дополнить характеристику комплексов и является весьма важным при сравнении и корреляции разобщенных разрезов и установлении возраста пород. В статье приводятся два новых рода и пять новых видов из отложений нижнего кембрия (слои с *Pseudocetaspis aldanensis*) и майского яруса среднего кембрия (слои с *Semicyclocephalus* и *Urjungaspis*).

Голотипы новых видов трилобитов хранятся в отделе стратиграфии и палеонтологии СНИИТГиМСа, коллекция № 261.

Тип *Arthropoda*

Класс *Trilobita*

Отряд *Polymera* Jaekel, 1909

Семейство *Jakutidae* Suvorova, 1960

Фиг. 1-3. *Oxytoma (Oxytoma) gusevi* Kurushin, sp. nov. 1 - голотип, экз. 83I/3, х3, ядро левой створки; 2 - экз. 83I/4, х2, ядро левой створки; 3 - экз. 83I/2, х2, ядро левой створки; с частично сохранившимся раковинным слоем; низовья р. Лены, р. Кенгдей, р. Течихен, обр. 6566; ладинский ярус, верхний подъярус.

Фиг. 4-7. *Taimyronectes tener* Kurushin, gen. et. sp. nov. 4 - голотип, экз. 83I/24, х2, целая раковина, 4а - левая створка, 4б - правая створка, 4в - вид с замочного края; 5 - экз. 83I/23, левая створка; 6 - экз. 83I/25, х2,5, левая створка; 7 - экз. 83I/26, х3; правая створка; Восточный Таймыр, м. Цветкова, обн. 2, слой 2,3,16,40; анизийский ярус, зона *Grambergia taimyrensis* (фиг. 4-5); *Lenotropites tardus* (фиг. 6) и *Gymnoceras rotelliforme* (фиг. 7).

Фиг. 8. *Plagiostoma tcherskyi* Kurushin, sp. nov. 8 - голотип, экз. 83I/15, правая створка; 8а - то же, х3, 8б - то же, х4; Восточный Таймыр, м. Цветкова, обн. 2, слой 4; анизийский ярус, зона *Grambergia taimyrensis*.

Фиг. 9-10. *Pseudolimea kaplani* Kurushin, sp. nov. 9 - голотип, экз. 83I/17, х2, правая створка; 10 - экз. 83I/18, х2, правая створка; Восточный Таймыр, возвышенность Тулай-Киряка, обн. 70, слой I; оленекский ярус, зона *Vajacunia euomphalus*.

Таблица XXI

Фиг. 1-5. *Costamenjaites* cf. *jucundus* Sazonova. Сибирская платформа, р. Боярка, обн. 7, вблизи Большой излучины, бояркинская свита. Нижний валанжин, зона *Temnoptychites suzranicus*, подзона *Temnoptychites suzranicus*.

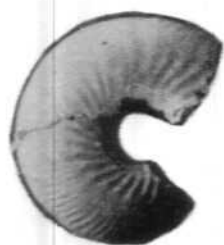
Фиг. 1-3. Обр. Б⁴/5-1; 1 - 4^I/3 - 5 оборот, х2,2; 1а - целый оборот, вид сбоку, 1б - поперечное сечение, 1в - вентральная сторона; 2 - половина шестого оборота, х1,5; 2а - вид сбоку, 2б - поперечное сечение, 2в - вентральная сторона; 3 - 6^I/2 оборота, нат. вел., вид сбоку.

Фиг. 4. Обр. Б⁴/6-2, нат. вел., жилая камера; 4а - вид сбоку, 4б - вентральная сторона.

Фиг. 5. Обр. Б⁴/6-4, нат. вел., жилая камера; 5а - вид сбоку, 5б - вентральная сторона.

Таблица XXII

Фиг. 1-9. Р. Арча-Сала. Нижний, средний кембрий.



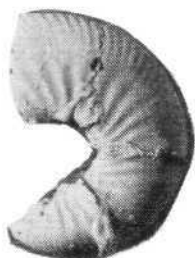
1a



1b



1c



2a



2a



3



2b



2c



4a



5a



5b